

<論 文>

Honeycomb 을 利用한 太陽熱 集熱器의 热効率 増大에 관한 研究

金鍾輔*·朴永七**

(1983年 6月 15日 接受)

A Study on Increasing Thermal Performance of Solar Collector by Utilizing Honeycomb Structures

Jong Bo Kim and Young Chil Park

Abstract

In the present study, improvement of the solar collector performance by utilizing honeycomb structures is being investigated.

Installation of honeycomb structures inside of the collector induces the suppression of would-be natural convection phenomena within the collector enclosure spacing. It also minimizes infrared radiation heat loss from the collector absorber plate to the surrounding.

Experiments have been carried out a collector with $40 \times 20\text{mm}$ rectangular honeycombs, $20 \times 20\text{mm}$ square honeycombs and without honeycombs. The results are presented for the three cases for comparisons. The collector model has been installed at various tilt angle from 15° to 60° measured from the ground. The influence of the tilt angle to the heat performance of the collector is also presented.

記 號 說 明

A_a : 集熱板 有効 面積, m^2

A : 斷面 形狀比, $A = W/L$

A_H : 評價 斷面 形狀比, $A_H = H/L$

C_{pa} : 空氣比熱, $\text{kJ/kg} \cdot ^\circ\text{C}$

C_{pw} : 水比熱, $\text{kJ/kg} \cdot ^\circ\text{C}$

g : 重力 加速度, 9.8m/s^2

Gr : Grashof 數

H : Honeycomb 세로길이, m

K_a : 空氣 热傳導率, $\text{W/m} \cdot ^\circ\text{C}$

L : Honeycomb 높이, m

m : 물의 質量流速, kg/s

Nu : Nusselt 數

Pr : Prandtl 數

Q : 集熱板을 通한 放出熱量, kJ

R_a : Rayleigh 數

t : Honeycomb 두께, m

T_c : Coverglass 平均溫度, $^\circ\text{C}$

T_s : 集熱板 平均溫度, $^\circ\text{C}$

U : 热貫流係數, $\text{W/m}^2 \cdot ^\circ\text{C}$

V_w : 물의 體積流量, m^3/s

W : Honeycomb 가로길이, m

β : 空氣 體積膨脹係數, $1/\text{K}$

ΔT_1 : 集熱板과 coverglass 의 平均溫度 差, $^\circ\text{C}$

* 正會員, 仁荷大學校 機械工學科

** 仁荷大學校 機械工學科

ΔT_2 : 集熱器 入口와 出口의 물의 溫度差, °C

μ_a : 空氣 動粘性係數, kg/m·s

ρ_a : 空氣密度, kg/m³

ρ_w : 물密度, kg/m³

1. 緒論

太陽熱을 利用한 住宅의 冬·暖房, 溫水供給에서 사용되는 平板式 太陽熱 集熱器의 效率增大에 關한 研究는 全 太陽熱 利用裝置의 實用性 與否가 決定되는 중요 한 문제로서, 최근들어 괄목 할 만한 進展을 가져왔다.

太陽으로부터 到達되는 에너지의 量은 人爲의 方法에 의하여 調節될 수 있는 것이 아니며, 따라서 集熱器의 效率을 向上시킬 수 있는 方法은 集熱板이 最大의 热에너지 를吸收할 수 있는 構造를 가져야 하며, 또한吸收된 에너지가 다시 外部로 放出되는 것을 最大限으로 抑制시켜야 한다. 集熱板에서吸收된 에너지가 다시 外部로 放出되는 것 中에서 coverglass 와 集熱板 사이의 공기층에서 發生하는 對流現象은 集熱器가 傾斜지고, 集熱板과 外氣間의 比較的 큰 溫度差에 의하여 상당히 活潑한 自然對流를 形成하게 되며 이 自然對流에 의한 热損失은 外部로 放出되는 热에너지의 상당한 부분을 차지하게 된다^{1,2)}.

Coverglass 와 集熱板 사이에 設置된 honeycomb 은 이와 같은 對流現象을 抑制시킴으로서 自然對流에 의한 热損失을 減少시키며, 또한 honeycomb 은 太陽光線에 대해서는 투명하고, 比較的 긴 波長을 갖는 再輻射波에 대해서는 불투명하므로 集熱板에서의 再輻射도 抑制시켜, 集熱器의 热效率 增大에 크게 寄與하는 것으로 알려져 있다.

Hollands^{3,4)}, Arnold^{5,6)}, Buchberg⁷⁾ 等은 각각 正4 角形, 直4 角形, 圓形斷面의 honeycomb 을 使用한 實驗에서, 自然對流에 의한 热損失을 減少시키기 위한 honeycomb cell의 斷面길이와 높이의 比로 定義되는 斷面形狀比 ($A=W/L$)의 最適值가 存在함을 提示하였다. Smart⁸⁾, Cane⁹⁾ 等은 [正4 角形, 直4 角形, 6 角形] 斷面의 honeycomb 的 自然對流 抑制 效果를 比較하여, 正4 角形 斷面의 honeycomb 이 自然對流를 抑制시키는 效果가 가장 크다는 것을 發表하였다.

그러나 從來의 研究는 自然對流에 의한 热傳達量을 考慮한 모델을 중심으로 實驗하여 實제 集熱器에 適用될 수 있는 honeycomb 的 斷面形狀 및 斷面形狀比의 最適值를 提示하는데만 局限되어 왔으므로 實제 使用되고 있는 集熱器에 honeycomb 을 設置하였을 경우에

는 複合的인 热傳達 現象으로 因하여 提示된 結果들이 정확히 一致되기는 어려울 것으로 생각된다.

本 研究는 國內에서 使用되고 있는 既存 太陽熱 集熱器에 40×20mm 斷面의 直4 角形 honeycomb 과 20×20mm 斷面의 正4 角形 honeycomb 을 設置하여 加熱된 물로 集熱器의 集熱板을 加熱시켜 集熱板을 通過해 放出되는 热損失量을 測定, 比較 함으로서 honeycomb 이 實제 集熱器에 미치는 热損失 抑制 效果를 究明하고 이것이 集熱器의 热效率 增大에 미치는 影響을 研究 檢討하고 있다.

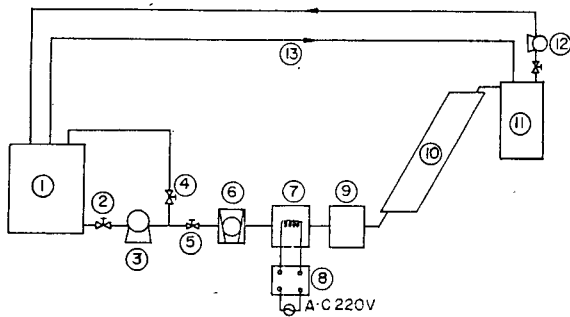
2. 實驗裝置 및 實驗方法

2.1. 實驗裝置

Fig. 1은 本 實驗에서 使用한 實驗裝置의 개략도이다. 一定한 水位를 갖는 貯水槽①에서 pump③을 通過하여 送出된 물을 吸入밸브②, 流量調節밸브⑤, by-pass 밸브④에 의하여 適正流量으로 調節시킨 후 流量計⑥ (Schutte & Koerting Co. M66-50637, U.S.A)에 의하여 測定하고 加熱槽⑦에서 加熱시킨 후 集熱器⑩의 入口로 流入시켰다. 實驗에 使用한 集熱器는 既存 國內에서 使用되고 있는 900×2700×95mm의 平板式 集熱器이며, 傾斜角에 대한 影響을 調査하기 위하여 集熱器 支持臺側面에 設置된 warm gear로 集熱器의 傾斜角을 調節하였다.

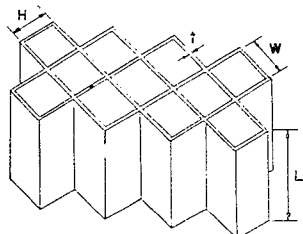
集熱器로 流入된 加熱된 물은 集熱器로 通過하는 동안 集熱板을 加熱시키며, 이때 集熱器의 後面 및 側面을 通過하여 發生하는 傳達 및 기타 热損失를 抑制시키기 위해 集熱器周圍는 두께 100mm의 glass wool(32kg/m³)로 斷熱시켜 加熱된 물이 集熱器를 通過하는 동안 放出되는 热量이 集熱器의 集熱板을 通過해서만 放出되는 것으로 간주할 수 있도록 하였다. 集熱板과 coverglass의 溫度를 測定하기 위하여 集熱板에 22개의 $\phi 0.3$ mm C-C 热電對와 coverglass에 5개의 热電對를 設置하였고 流入되는 물 및 集熱板의 溫度를 定常狀態에서 測定하기 위하여 ice junction과 記錄計(CHINO EH 100-06, JAPAN)을 使用하여 溫度變化를 確認하였다.

Fig. 2는 本 實驗에서 使用한 honeycomb 的 모양 및 規格이며, honeycomb 은 두께 1mm의 아크릴로 製作하였고 honeycomb 的 斷面形狀比 A 는 honeycomb cell의 가로 길이와 높이의 比 ($A=W/L$)로 定義하였으며 評價 斷面形狀比 A_H 는 세로길이와 높이의 比 ($A_H=H/L$)로 定義하였다.



- ① Constant head tank
- ② Suction valve
- ③ Pump
- ④ By-pass valve
- ⑤ Discharge valve
- ⑥ Flow meter
- ⑦ Heating tank
- ⑧ Thermostat
- ⑨ Mixing chamber
- ⑩ Solar collector
- ⑪ Reservoir tank
- ⑫ Pump
- ⑬ Over flow line

Fig. 1 Schematic diagram of experimental apparatus



No.	TYPE	L mm	H mm	W mm	t mm	A=W/L	A _h =H/L
1	SQUARE CELL	26	20	20	1	0.71	0.71
2	RECTANGULAR CELL	23	20	40	1	1.43	0.71

Fig. 2 Honeycomb structures

2.2. 實驗方法

實用되고 있는 既存 平板式 集熱器에 對流抑制 効果를 갖는 honeycomb 을 Fig. 3 과 같이 設置한 경우와 設置하지 않은 경우에 대한 热損失量을 比較, 檢討하기 위하여, 集熱器 入口에서 물의 溫度를 thermostat에 의하여 調節되는 加熱槽로 30°C에서 85°C 까지 5°C 씩 增加시켜 集熱器 入口로 流入시켰다. Honeycomb의 材質인 아크릴(PAMA)은 亂전도율이 0.042W/m°C인 絶緣體를 使用하였다.

集熱板을 通하여 放出되는 热損失量을 測定하기 위하여 2~3 時間이 經過된 후 記錄計에 나타난 溫度變化가 定常狀態를 維持할때 入口, 出口의 물의 溫度, 流量 및 集熱板의 溫度, coverglass의 溫度를 測定하

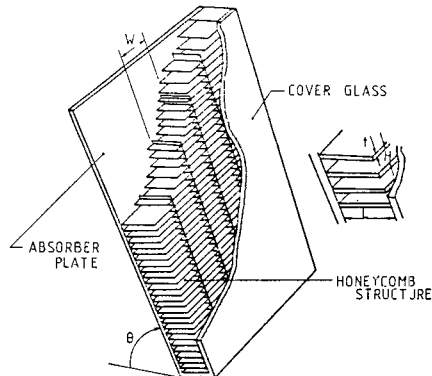


Fig. 3 Structure of honeycomb solar collector

였다. 集熱器는 水平面에 대해서 15°, 30°, 45°, 60°로 각각 傾斜지게 設置하여 傾斜角의 變化에 대한 影響을 調査하였다.

—實驗에 使用된 既存 太陽熱 集熱器 사양—

모델 : 三星 SFC-390

길이 : 2,520mm

幅 : 850mm

水管의 數 : 7

水管의 外徑 : 10.73mm

水管의 內徑 : 9.53mm

集熱板 材質 : 알루미늄(Aluminium)

集熱板 두께 : 1mm

3. 實驗結果 및 考察

3.1. Rayleigh 數, Nusselt 數의 定義

測定된 集熱板의 溫度와 coverglass의 溫度를 각각 算術平均하여 集熱板의 代表溫度 T_s , coverglass의 代表溫度 T_c 를 定하였으며 T_s 와 T_c 의 差 ΔT_1 으로부터 Rayleigh 數는 다음 式으로 表示된다.

$$Ra = G_r \cdot Pr = \frac{\rho_a^2 g \beta C_p a L^3 \Delta T_1}{\mu_a K_a} \quad (1)$$

Gr : Grashof 數 ; $Gr = \rho_a^2 g \beta \Delta T_1 L^3 / \mu_a^2$

Pr : Prandtl 數 ; $Pr = C_p a \mu_a / K_a$

集熱板으로 부터의 輻射熱傳達에 의한 热損失을 集熱板의 낮은 溫度 때문에 큰 影響을 주지 못하여 平板 사이의 空氣의 热傳導率도 매우 적으므로 集熱器로부터 外部로 放出되는 热損失量은 集熱板과 coverglass 사이의 自然對流 热傳達에 의한 热損失이 가장 큰 影響을 미치고 있으며, 다음과 같이 热貫流係數(overall heat transfer coefficient) U 를 使用하여 測定된 물의 入口, 出口의 溫度差 ΔT_2 로부터 集熱板을 通하여 放

出되는 热損失量 Q 는 다음 式으로 表示된다.

$$Q = \dot{m} C_{pw} \Delta T_2 = \rho_a V_a C_{pw} \Delta T_2 = U A_a \Delta T_1$$

$$\therefore U = \frac{\rho_a V_a C_{pw} \Delta T_2}{A_a \Delta T_1}$$

따라서 Nusselt 數는 다음과 같다.

$$Nu = \frac{U \cdot L}{K_a} = \frac{\rho_a V_a C_{pw} \Delta T_2 L}{K_a A_a \Delta T_1} \quad (2)$$

3.2. 傾斜角이 集熱器의 热損失에 미치는 效果

Fig. 4 는 honeycomb を 設置하지 않은 경우, Fig. 5 는 直 4 角形 斷面의 honeycomb を 設置한 경우, Fig. 6 은 正 4 角形 斷面의 honeycomb を 設置한 경우에 대하여 式 (1), (2)로부터 計算된 結果를 각각 나타낸 것이다. Figs. 4, 5, 6에서와 같이 Rayleigh 數 및 傾斜角 θ 가 增加함에 따라 Nusselt 數는 增加하며, 이 結果들은 Arnold⁶⁾, Cane⁹⁾ 等의 實驗結果와 同一한 傾向을 갖는다. 傾斜진 密閉空間 内部에서 热傳達에 直接 關係되는 空氣의 流動은 Fig. 7 과 같이 top heavy type instability로 因해 發生되는 Bernard-cell type flow pattern¹⁰⁾과 傾斜진 集熱板을 따라 上昇한 후 coverglass 를 따라 下降하는 longitudinal motion 으로 大別될 수 있다. Arnold⁵⁾等에 의하면 傾斜角이 45° 이하에서 發生하는 热傳達은 대부분 Bernard-cell type flow pattern 에 의한 것이며, 傾斜角이 增加함에 따라 longitudinal motion 이 점차 增加하고, 이면 2種類의 空氣流動은 각기 獨立的으로 存在하며, 서로 겹쳐질 수 없는 것이다. Honeycomb を 設置하지 않은 경우, 傾斜角이 增加함에 따라 Nusselt 數는 增加하나 傾斜角이 45°에서 60°로 增加할 경우 그 增加率은 減少하고, 이것은 45° 이하에서 热傳達의 大부분을 支配하면 Bernard-cell type flow pattern 이 점차 消滅되고 longitudinal motion 에 의한 热傳達이 形成되는 過程에서 나타나는 現象으로

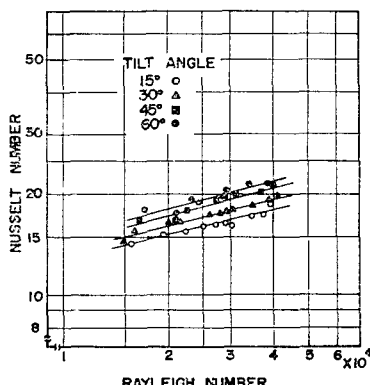


Fig. 4 Experimental results for flat-plate no-honeycomb solar collector

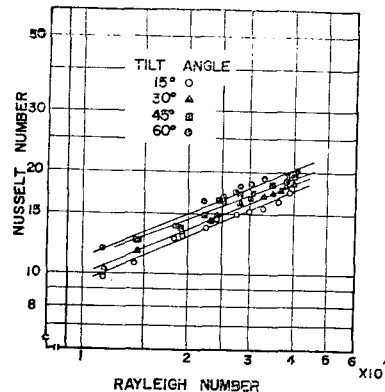


Fig. 5 Experimental results for rectangular, 40 × 20mm, honeycomb solar collector

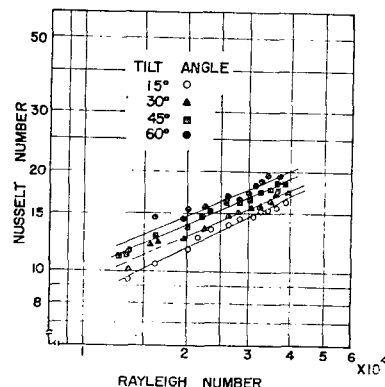
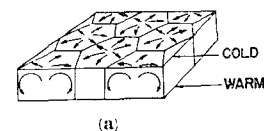
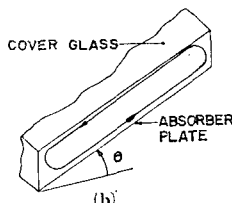


Fig. 6 Experimental results for square, 20 × 20 mm, honeycomb solar collector



(a)



(b)

- (a) Bernard cell flow pattern
- (b) Longitudinal free convection along inclined plate

Fig. 7 Two components of free convection flow motion in enclosed air layer heated from below

생각된다. Honeycomb 을 設置한 경우에는 longitudinal motion 的 發達이 honeycomb 에 의하여 抑制되어 그

結果로 인해, 위에서 언급된 현상은 honeycomb을設置하지 않은 경우보다 큰 傾斜角에서 나타날 것으로 생각되며, 따라서 honeycomb을設置한 경우에는 傾斜角이 45° 에서 60° 로增加할 때 Nusselt數의增加率이減少하는 傾向은 本實驗範圍內에는 나타나지 않았다.

3.3. Honeycomb構造物의 集熱器의 热効率에 미치는 効果

Fig. 8, Fig. 9는 集熱器의 傾斜角에 대하여, honeycomb의 有無에 대한 Rayleigh數와 Nusselt數間의關係를 圖示한 것이다. Fig. 8과 9에서 알 수 있는 바와 같이, honeycomb을設置하지 않은 경우에比하여 honeycomb을設置한 경우가同一한 Rayleigh數에 대하작은 Nusselt數를 가진다. Honeycomb을設置하지 않은 경우, Rayleigh數의增加에 대하 Nusselt數의增加는 honeycomb을設置한 경우의增加率보다 적으며 이것은 Hollands⁴, Charters等¹¹이 提示한結果와 같아 honeycomb內部에서 낮은 Rayleigh數에서 top heavy type instability에 의해 形成된 空氣의 流動은 Rayleigh數가增加함에 따라 급격히 honeycomb cell全體를 채우게 되며, 따라서 Rayleigh數의增加에 대한 Nusselt數는 급격히增加하여, honeycomb을設置하지 않은 경우의 Nusselt數에接近하는現象으로부터起因된 것으로서 생각된다.

直4角形斷面의 honeycomb과 正4角形斷面의對流抑制効果는 傾斜角 θ 가增加함에 따라 그 差는 점차減少하고 이것은 傾斜角이增加함에 따라 Bernard-cell type flow pattern은 점차减少하며, longitudinal motion에 의한空氣流動의 热傳達現象을支配하게 됨으로서,同一한評價斷面形狀比를 갖는直4角形, 正4角形斷面의 honeycomb cell內部에서發生하는空氣의流動形態가 같아짐으로 인하여 나타나는現象으로 생각되며, 이結果는 Smart等⁵의結果와 같은傾向을보여 주었다.

國內에서 使用되고 있는既存太陽熱集熱器의 경우 그 傾斜角은 45° 이며¹⁰, Fig. 9으로부터, 直4角形斷面의 honeycomb을設置하였을 경우 honeycomb을設置하지 않은 경우에比하여 平均 11.2%, 正4角形斷面의 honeycomb을使用한 경우 19.6%의 热損失이減少된다. 이것은既存太陽熱集熱器가常用範圍內에서日射量 $698\text{kcal}/\text{m}^2\cdot\text{h}$ 일때 流量 $1l/\text{m}^2\cdot\text{min}$.으로 얻을 수 있는入口,出口의 溫度差가 5.5°C 인데 比해^{1,12}, 直4角形, 正4角形斷面의 honeycomb을設置하였을 경우에는 얻을 수 있는入口,出口의 溫度差가 각각

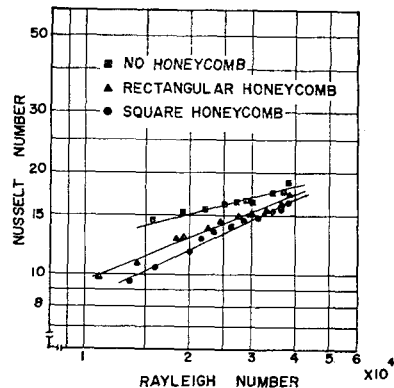


Fig. 8 Comparisons of experimental results of the solar collector at $\theta=15$

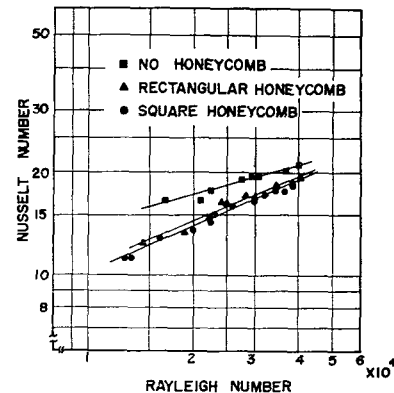


Fig. 9 Comparisons of experimental results of the solar collector at $\theta=45$

$6.1^\circ\text{C}, 6.5^\circ\text{C}$ 에該當되는 것이다.

따라서直4角形, 正4角形斷面의 honeycomb은太陽熱集熱器의热効率을既存47.3%¹¹로부터52.4%, 56.2%로增大시킬수있을것으로思料된다.

4. 結論

實驗 및 計算의結果를檢討하여 다음과 같은結論을得았다.

1. 集熱器의 傾斜角 θ 및 Rayleigh數가增加함에 따라 Nusselt數는增加하여 實驗結果는 傾斜角 $15^\circ \sim 60^\circ$ 範圍에서 $Nu=CR_a^n$ 으로表示되며 각각의 경우에 대한 實驗常數 C 및 N 을 Table 1에 정리하였다.

2. 正4角形斷面의 honeycomb은直4角形斷面의 honeycomb에比하여自然對流에의한热損失을抑制시키는効果가優秀하며, 傾斜角이增加함에 따라 그 差는减少한다.

3. 傾斜角 45° 로設置되는既存太陽熱集熱器에直

4 角形 斷面의 honeycomb, 正 4 角形 斷面의 honeycomb 을 設置하였을 경우 既存 集熱器에 比하여 각각 11.2%, 19.6%의 热損失이 減少하며, 따라서 honeycomb 的 使用으로 太陽熱 集熱器의 热効率의 實質적인 向上을 기대할 수 있다.

Table 1 Experimental values of C and N for empirical correlation

$Nu = cRa^N$				
Type	Dmen	Tilt angle	C	N
No-honeycomb	900 × 2700 × 28 mm	15°	1.247	0.253
		30°	1.238	0.260
		45°	1.009	0.287
		60°	1.079	0.283
Rectangular honeycomb	40 × 20 × 28 mm	15°	0.159	0.443
		30°	0.139	0.461
		45°	0.185	0.439
		60°	0.230	0.422
Square-honeycomb	20 × 20 × 28 mm	15°	0.076	0.509
		30°	0.130	0.465
		45°	0.151	0.456
		60°	0.175	0.448

後記

本研究는 한국과학재단의 정착 연구비에 依한 研究結果이며 당국에 깊은 謝意를 表합니다.

參 考 文 獻

- (1) 삼성전자공업주식회사 태양 Energy 사업부, “三星 太陽熱 集熱器,” SEC-80.4 B4ZF(S), 1980.
- (2) Hottel, H.C. and Woertz, D.B., “The performance of flat-plate solar heat collectors”, Trans. ASME, vol. 64, 1942, pp. 91-104.
- (3) Hollands, K.G.T., “Honeycomb devices in flat-plate solar collectors”, Solar Energy, vol. 9, No. 3, 1965, pp. 159-161.
- (4) Hollands, K.G.T., “Natural convection in horizontal thinwalled honeycomb panels”, J. of Heat Transfer, Trans. ASME, Vol. 95, Nov. 1973, pp. 439-444.
- (5) Arnold, J.N. and Catton, I. and Edwards, D.K., “Experimental investigation of natural convection in inclined rectangular regions of differing aspect ratios”, J. of Heat Transfer, Trans. ASME, Vol. 98, 1976, pp. 67-71.
- (6) Arnold, J.N. and Catton, I. and Edwards, D.K., “Effect of tilt and horizontal aspect ratio on natural convection in a rectangular honeycomb”, J. of Heat Transfer, Trans. ASME, Vol. 99, 1977, pp. 120-122.
- (7) Buchberg, H. and Edwards, D.K., “Design considerations for solar collectors with cylindrical glass honeycomb”, Solar Energy, Vol. 18, 1976, pp. 193-203.
- (8) Smart, D.R. and Hollands, K.G.T. and Raithby, C.D., “Free convection heat transfer across rectangular celled diathermanous honeycombs”, J. of Heat Transfer, Trans. ASME, Vol. 102, Feb., 1980, pp. 75-80.
- (9) Cane, R.L.D. and Hollands, K.G.T. and Raithby, G.D. and Unny, T.E., “Free convection heat transfer across inclined honeycomb panels”, J. of Heat Transfer, Trans. ASME, Vol. 99, 1977, pp. 86-91.
- (10) E.R.G. Eckert, et al, “Analysis of heat and mass transfer”, McGraw-Hill Kogakusha Ltd., 1972, pp. 536-537.
- (11) Charters, W. W. S. and Peterson, L.F., “Free convection suppression using honeycomb cellular materials”, Solar Energy, Vol. 13, 1972, pp. 353-361.
- (12) 한국동력자원연구소; 연구보고서, “태양에너지 이용기기 성능시험 기술개발 및 태양에너지 자원 조사 평가”, 1982, pp. 31-34, pp. 151-152.
- (13) Meyer, B.A. and Mitchell, J. W. and El-Wakil, M.M., “Natural convection heat transfer in moderate aspect ratio enclosures”, J. of Heat Transfer, Trans. ASME, Vol. 101, 1979, pp. 655-659.
- (14) Blaga, A., “Use of plastics in solar energy application”, Solar Energy, Vol. 21, 1978, pp. 331-338.